

## بررسی سطح ایستابی آب زیرزمینی دشت اردبیل

هاشم رستم زاده، استادیار اقلیم شناسی، دانشگاه تبریز.

اسماعیل اسدی، استادیار مهندسی آب، دانشگاه تبریز.

جعفر جعفرزاده<sup>۱</sup>، دانشجوی کارشناسی ارشد سنجش از دور و سیستم اطلاعات جغرافیایی، دانشگاه تبریز.

پذیرش نهایی: ۱۳/۱۲/۱۳

دریافت مقاله: ۹۳/۶/۲۰

### چکیده

آب‌های زیرزمینی منبع بسیار مهمی برای تأمین آب مصرفی در بخش‌های کشاورزی، صنعت و شرب دشت اردبیل است. از این‌رو، بررسی تغییرات منابع آب زیرزمینی در برنامه‌ریزی و مدیریت پایدار این منابع اهمیت فراوانی دارد. در این پژوهش، هدف سطح‌بندی وضعیت دهستان‌های موجود در دشت اردبیل به لحاظ بحران آب زیرزمینی و تغییرات آن طی سال‌های ۱۳۶۰ و ۱۳۹۱ است. بنابراین، از اطلاعات ۳۹ چاه پیزومتری موجود در سطح دشت اردبیل (اخذشده از سازمان آب منطقه‌ای) استفاده شد. با استفاده از تکنیک وزن‌دهی جمعی ساده‌ی فازی و روش‌های درون‌یابی، سطح ایستابی پیزومترها درون‌یابی و نحوه تغییرات سطح ایستابی آن‌ها طی این دو دوره نمایش داده شدند. سپس، نقشه‌ی نهایی فازی شده و وزن‌دار از دو نقشه‌ی سال ۶۰ و سال ۹۱ تهیه گردید. نتایج تحلیل، کاهش تقریباً ۴۷ درصدی سطح ایستابی را در سال ۱۳۹۱ نسبت به سال ۱۳۶۰ نشان می‌دهد. سرانجام، با استفاده از اطلاعات به دست آمده می‌توان گفت که دهستان‌های شرقی، ویلکیچ مرکزی و فولادلوی شمالی بیشترین تغییرات را به لحاظ افت سطح آب زیرزمینی داشته‌اند که قسمت شرق و جنوب شرق دشت را شامل می‌شوند. همچنین، دهستان‌های شمالی دشت نیز به سمت بحران پیش می‌روند که، با توجه به نقشه‌ی سطح کشید و تراکم چاه عمیق، برداشت بیش از حد از منابع آب زیرزمینی را در این ناحیه می‌توان عامل اصلی بحران قلمداد کرد.

واژگان کلیدی: تصمیم‌گیری چند معیاری فازی، آب زیرزمینی، سطح ایستابی، تحلیل فضایی، دشت اردبیل.

<sup>۱</sup>. نویسنده مسئول

## مقدمه

آب زیرزمینی یکی از منابع مهم تأمین آب شرب برای بسیاری از مردم در سراسر جهان مخصوصاً در مناطق روستایی است. با توجه به اهمیت و دسترسی ساده به منابع آب زیرزمینی (بهخصوص در چند دهه‌ی گذشته)، استحصال بدون برنامه‌ریزی این منابع سبب افت شدید سطح ایستایی در بسیاری از دشت‌های کشور ازجمله دشت اردبیل شده است. به‌گونه‌ای که اکنون آثار منفی آن در شرق آبخوان کاملاً مشهود است (شمسي‌سوسهاب و ستاري، ۱۳۹۳). در شرایطی که برداشت بی‌رویه‌ی آب زیرزمینی دشت اردبیل در سال‌های اخیر به مسئله‌ی بزرگ منطقه‌ای تبدیل شده است، مدل‌سازی سطح آب زیرزمینی این دشت امری مهم و ضروری است. دانشور وثوقی و دین پژوه (۱۳۹۰) در تحقیقی به این نتیجه رسیدند که افت معنی‌دار تراز آب در همه‌ی ماههای سال برای دشت اردبیل ناشی از خشکسالی یا کاهش بارش نیست، بلکه به‌علت افزایش معنی‌دار درجه‌ی حرارت و نیاز آبی گیاهان همچنین برداشت بی‌رویه آب از چاههای عمیق، نیمه‌عمیق و دستی است که سبب کاهش تراز آب زیرزمینی در دشت شده است. شمسي‌سوسهاب و ستاري (۱۳۹۳) در پژوهشی تخمین سطح ایستایی آب زیرزمینی دشت اردبیل را با استفاده از شبکه‌ی عصبی مصنوعی بررسی کردند. استفاده از مدل‌های گوناگون درون‌بابی اساس کار بسیاری از محققین برای بررسی وضعیت تغییرات زمانی و مکانی سطح آب زیرزمینی است. درباره‌ی انتخاب بهترین حالت درون‌بابی به روش وزن‌دهی عکس فاصله، می‌توان از شاخص‌های توان درون‌بابی و از قطاع‌بندی سیستم<sup>۱</sup> (Watsonand and Philip, ۱۹۸۲) و، سرانجام، از گزینه‌ی ریشه‌ی دوم خطای میانگین RMSE<sup>۲</sup>، بهره جست که هرچه این مقدار کمتر باشد، نشان‌دهنده‌ی کارایی بهتر روش مورد نظر است (غريب‌نيا و همكاران، ۱۳۹۱؛ Azpurua and Dos Ramos, ۲۰۱۰). يوسان و همکاران به مقایسه‌ی سه روش میان‌بابی وزن‌دهی عکس فاصله، توابع پایه‌ی شعاعی<sup>۳</sup> و کریجینگ<sup>۴</sup> برای پیش‌بینی تغییرات زمانی و مکانی عمق آب زیرزمینی در کویر مین کین در شمال چین پرداختند<sup>۵</sup> (YueSun et all ۲۰۰۹). مک‌کنا در ایالت کلرادوی امریکا برای بالابدن دقت در تخمین و شبیه‌سازی داده‌های مؤثر بر جریان آب زیرزمینی از روش‌های زمین‌آماری استفاده کرد (McKenna, ۲۰۰۲). صادق نیکبخت و معصومه دلبری (۱۳۹۲) با استفاده از روش‌های زمین‌آماری به برآورد سطح ایستایی آب‌های زیرزمینی دشت زاهدان پرداختند.

برتری و اشکال‌های هر روش شدیداً به خصوصیات و مشخصات مجموعه‌ی داده‌ها بستگی دارد. ممکن است روشی که به خوبی بر مجموعه‌ی داده‌های برازش داده می‌شود، برازش آن بر مجموعه‌ی دیگری نتایج ضعیفی داشته باشد. بنابراین، ضوابط و معیارهایی برای انتخاب مناسب‌ترین روش باید بیان شود (Apaydin et al, ۲۰۰۴). رابینسون و متمنیج برای انتخاب بهترین توان در مدل وزن‌دهی عکس فاصله، از چولگی پایین داده‌ها و کمترین مقدار خطای RMS استفاده کردند (Robinson and Metternicht, ۲۰۰۶).

هدف از پژوهش حاضر تعیین تغییرات سطح ایستایی آب زیرزمینی دشت اردبیل با استفاده از روش‌های زمین‌آمار و تحلیل تصمیم‌گیری چند معیاره و بررسی ارتباط بین میزان برداشت آب زیرزمینی و وضعیت سطح ایستایی آن برای دهستان‌های سطح دشت اردبیل است. آنچه در این پژوهش صورت گرفته ترکیب مدل‌های مختلف درون‌بابی و وزن‌دار کردن آن‌ها با توجه به میزان دقت مدل‌ها و تهیه‌ی نقشه درون‌بابی جدید با استفاده از هر چهار مدل درون‌بابی است.

<sup>۱</sup>. Sector type

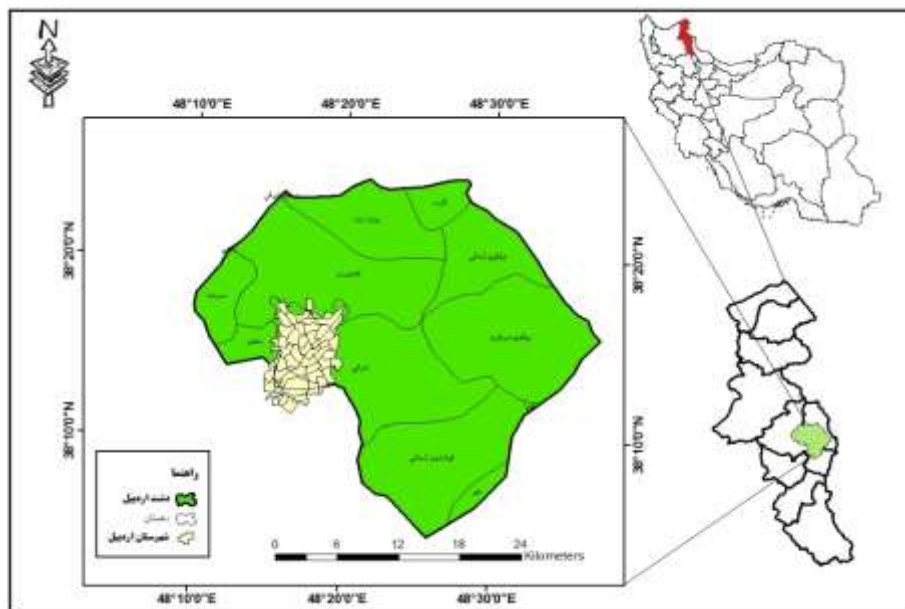
<sup>۲</sup>. Root-Mean-Square Error

<sup>۳</sup>. Radial Basis Function

<sup>۴</sup>. Kriging

## داده‌ها و روش کار

دشت اردبیل در ناحیه‌ی شمال غرب ایران بین عرض شمالی ۳۸ درجه و ۵ دقیقه تا ۳۸ درجه و ۳۰ دقیقه و طول شرقی ۴۸ درجه و ۱۵ دقیقه تا ۴۸ درجه و ۳۵ دقیقه واقع شده است. محدوده از نظر تقسیم کشوری به استان اردبیل تعلق دارد (شکل ۱). ارتفاع متوسط اراضی کشاورزی حدود ۱۳۶۰ متر از سطح دریاهای آزاد است. وسعت آن حدود ۸۲۰ کیلومترمربع است و جزئی از حوضه‌ی آبخیز رود قره‌سو بهشمار می‌رود. دشت اردبیل متشکل از ۸۸ واحد روستایی، ده واحد دهستان و ۲ واحد شهری (اردبیل و آبی بیگلو) است. شهر اردبیل مرکز استان اردبیل در غرب این دشت واقع شده است. در محدوده‌ی دشت اردبیل تعداد ۲۲۴۳ حلقه چاه عمیق و نیمه‌عمیق، ۲۰ دهنه‌ی چشمه و ۱۸ رشته قنات وجود دارد که به مصارف کشاورزی اختصاص دارند. از سال ۱۳۵۰، برداشت آمار سطح ایستابی دشت اردبیل با ۱۱ ایستگاه پیزومتری در محدوده‌ی دشت شروع شد و در سال‌های اخیر به ۵۴ حلقه چاه رسید. این امر خوشبختانه پراکندگی مناسبی دارد، اما به‌جهت این‌که دقیق کافی در برداشت یا ارائه‌ی آمار ماهیانه و سالیانه از تراز سطح ایستابی چاه‌های موجود صورت نمی‌گیرد، عالملاً فقط داده‌ها و اطلاعات ۳۱ چاه از ۵۴ چاه موجود در این پژوهش استفاده شده است.

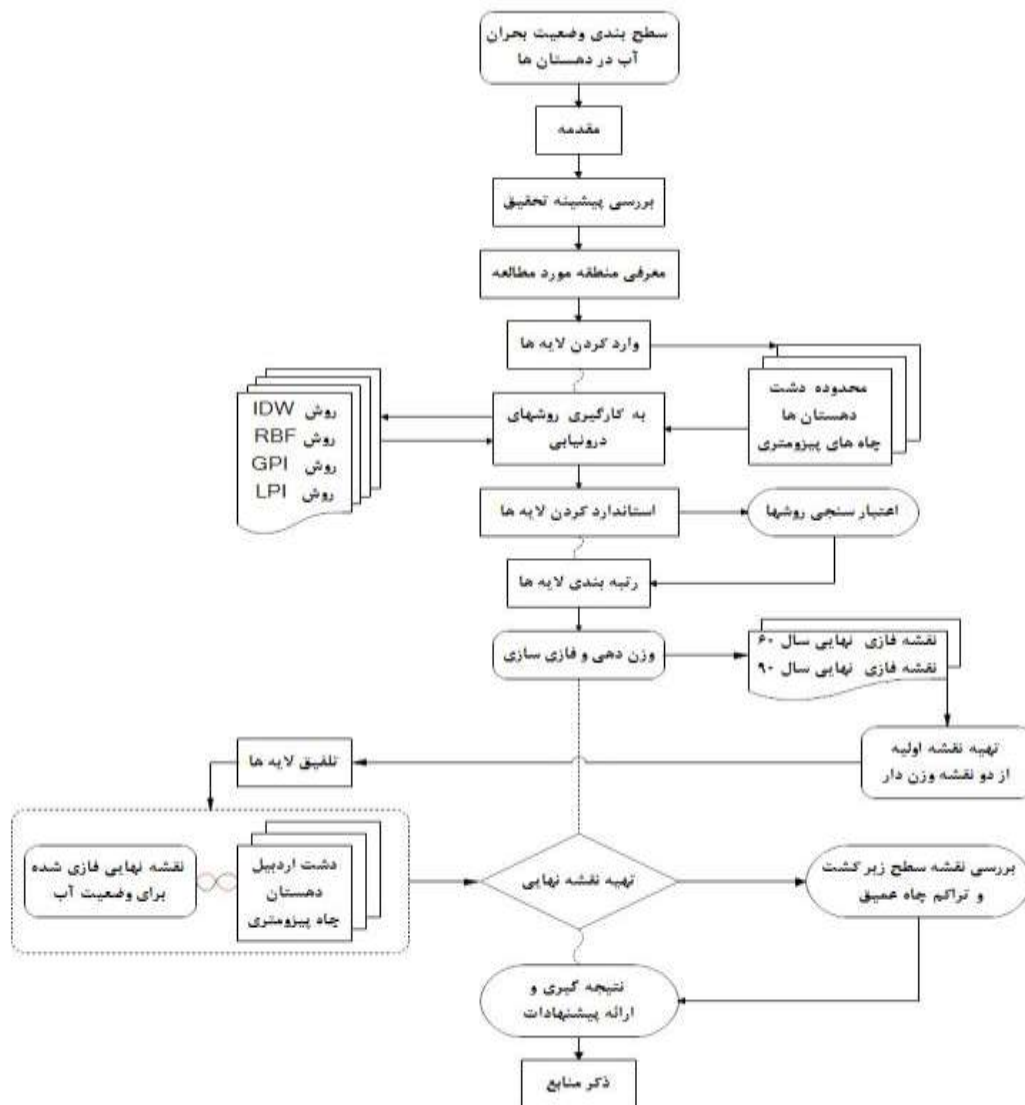


شکل ۱: موقعیت دشت اردبیل در سطح استان اردبیل.

برای انجام این تحقیق، از داده‌های آماری مربوط به چاه‌های پیزومتری استفاده گردید که در سطح دشت اردبیل پراکنده شده‌اند. داده‌ها از طریق سازمان آب منطقه‌ای شهرستان اردبیل جمع‌آوری شد. همچنین از لایه‌های سطحی و نقطه‌ای مربوط به دشت اردبیل و تقسیمات سیاسی دهستان‌ها و میانگین سطح زیرکشت هر دهستان و نیز موقعیت چاه‌های پیزومتری برای تهیه‌ی نقشه‌های نهایی استفاده گردید.

مراحل انجام تحقیق در شکل شماره ۲ آورده شده است. اولین گام برای بررسی هر فرآیند هیدرولوژیکی جمع‌آوری داده‌ها و اطلاعات مورد نیاز است، از قبیل موقعیت مکانی چاه‌های مشاهده‌ای و مختصات آن‌ها. برای این منظور اطلاعات منابع آب زیرزمینی مربوط به سال‌های ۶۰ و ۹۱ تهیه گردید و در پژوهش حاضر استفاده شد که ملاک عمل و برنامه‌ریزی داده‌های

اخذشده از مدیریت منابع آب شهرستان اردبیل است. پس از بررسی آمار و انتخاب داده هایی که برای تمام چاه های انتخابی کامل و موجود بودند، برداشت های ماهیانه چاه های پیزومتری موجود در محدوده دشت اردبیل برای سال های آماری ۶۰ و ۹۱ و تغییرات سطح ایستایی تعداد ۳۹ چاه پیزومتری از ۵۴ چاه پیزومتری موجود انتخاب شد. سپس، متوسط سالیانه برای هر چاه پیزومتری داخل در محدوده و پیرامون آن وارد محیط نرم افزاری ArcGIS گردید.



شکل ۲: نمودار مرحله انجام کار

از روش های زمین آمار<sup>۱</sup> IDW (قهروندی تالی و بابایی، ۱۳۸۴: ۹۸؛ فرجی و عزیزی، ۱۳۸۵)،<sup>۲</sup> RBF (Johnston et all, ۲۰۰۱)،<sup>۳</sup> GPI (Yan, ۲۰۰۹) و LPI (Johnston et all, ۲۰۰۱)،<sup>۴</sup> (Yan, ۲۰۰۹)

<sup>۱</sup>.Inverse Distance Weight

<sup>۲</sup>.Global Polynomial Interpolation

<sup>۳</sup>.Local Polynomial Interpolation

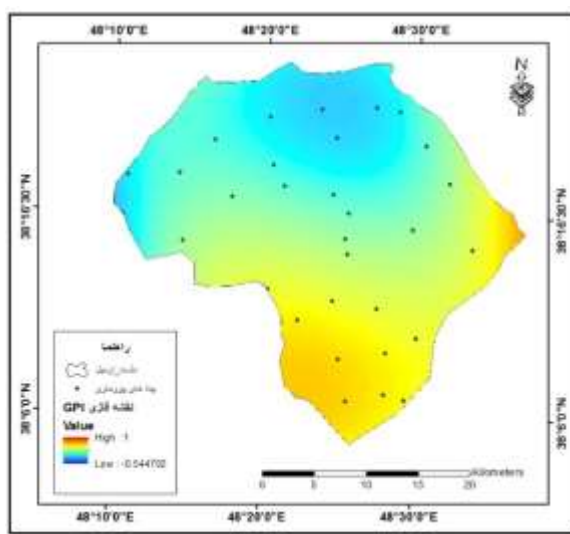
۲۰۰۱) در محیط نرم افزار ArcGIS درون یابی همهی داده های موجود انجام گردید و افت سطح ایستابی در محدوده های استاندارد به صورت کلاس های ده گانه (رستری) در محدوده ممنوع دشت اردبیل مشخص گردید. پس از بدست آوردن لایه های اطلاعاتی اولیه، به استانداردسازی و فازی کردن لایه ها با استفاده از تقسیم بر مقدار حد اکثر شده اقدام گردید. برای اعتبارسنجی و رتبه بندی روش های درون یابی از ریشه های میانگین مربعات خطا (RMSE) استفاده شد ( Srivastava and Isaaks, ۲۰۰۸) به این صورت، مدلی که دارای کمترین میزان RMSE باشد، دارای بیشترین رتبه است. معادله کلی ریشه های میانگین مربعات خطا به صورت زیر است:

$$RMSE = \sqrt{\frac{\sum_{i=1}^n (Z^*(X_i) - Z(X_i))^2}{n}} \quad \text{معادله ۱}$$

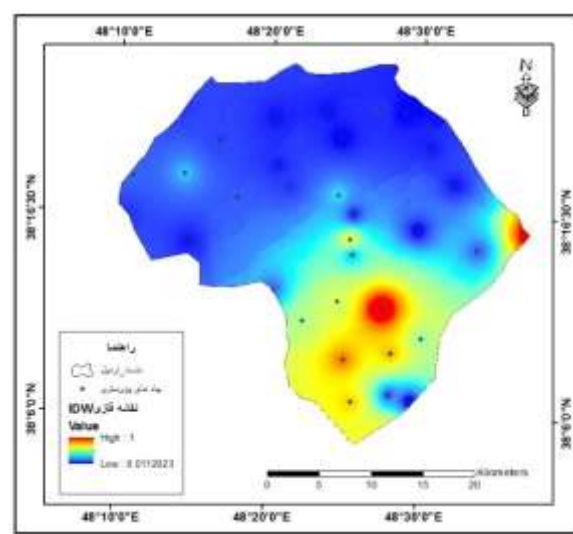
در این معادله،  $(X_i)$  و  $Z(X_i)$  مقدار تخمین‌زده شده و واقعی متغیر  $Z$  در نقطه  $X_i$  هستند. سپس، براساس میزان جذر میانگین مربعات خطأ، که معیاری برای سنجش دقت روش‌های درون‌یابی است، رتبه‌بندی مستقیم و وزن‌دهی با روش‌های گفته شده صورت گرفت. سرانجام، با استفاده از روش وزن‌دهی جمعی ساده (پرهیزگار و غفاری، ۱۳۹۰؛ اصغرپور، ۱۳۹۲؛ ۲۱۲)، لایه‌ها وزن‌دار شده و لایه‌های اطلاعاتی افت سطح ایستابی برای سال‌های ۶۰ و ۹۰ به دست آمده است. برای به دست آوردن نقشه‌ی نهایی افت سطح ایستابی، دو لایه‌ی مذکور از هم کسر شد و نقشه‌ی نهایی افت سطح ایستابی دشت اردبیل (به صورت فازی) به دست آمد.

شرح و تفسیر نتایج

اشکال شماره‌ی ۳ تا ۱۰ نقشه‌های درونیابی شده با استفاده از نرم افزار را برای دشت اردبیل با استفاده از مدل‌های ارائه شده و برای دو سال‌های ۶۰ و ۹۰ نشان می‌دهد. هر یک از این اشکال با استفاده از چهار روش درونیابی که در روش کار توضیح داده شد، انجام شده و هم چنین برای هر دو سال آیه ۶۰ و این چهار روش به کار برده شده است.

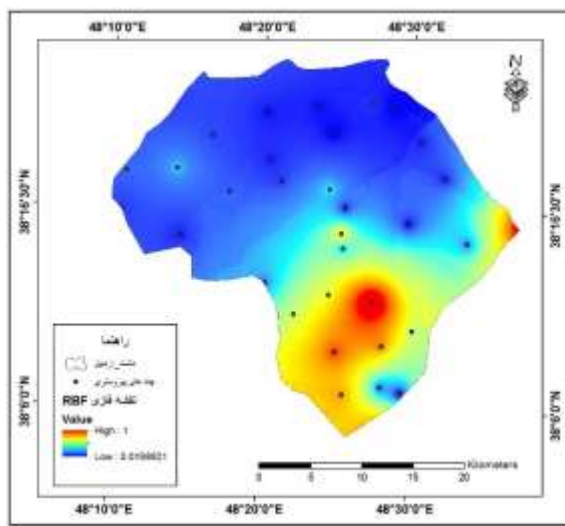


شکل ۴: نقشه‌ی فازی به روش GPI برای سال آبی ۱۳۶۰.

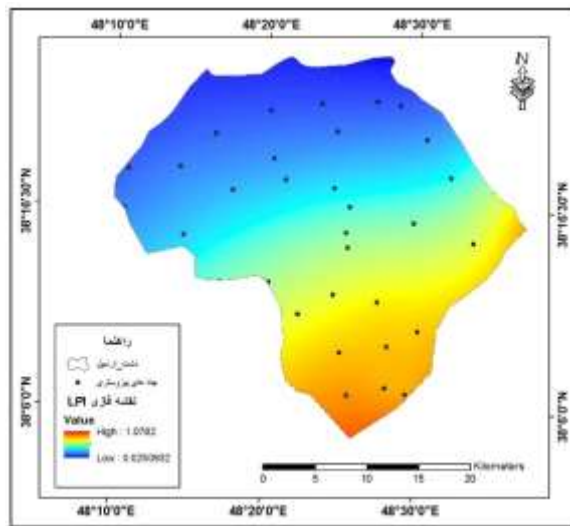


شکل ۳: نقشه‌ی فازی به روش IDW برای سال آبی ۱۳۶۰.

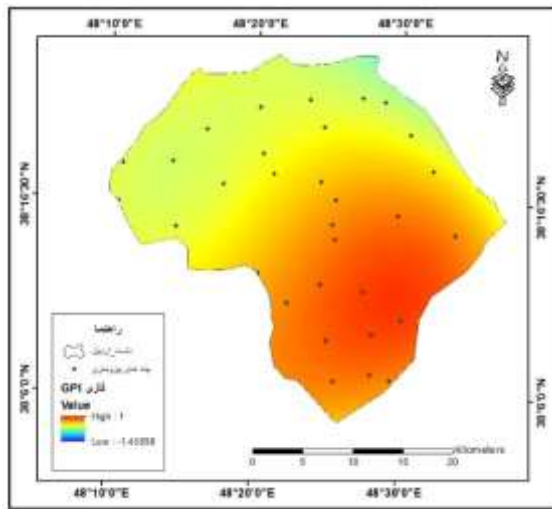
## بررسی سطح ایستایی آب ....



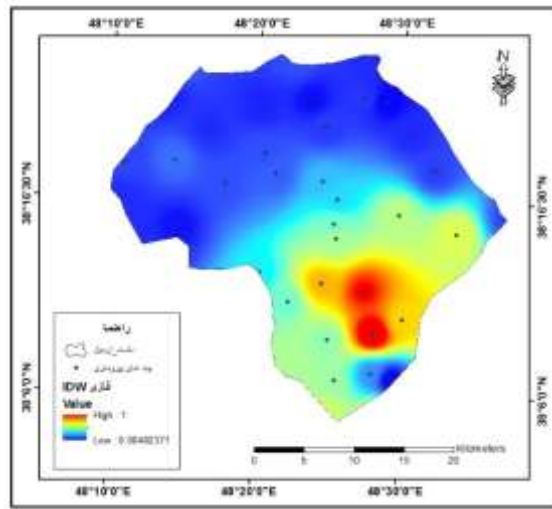
شکل ۶: نقشه‌ی فازی به روش RBF برای سال آبی ۱۳۶۰.



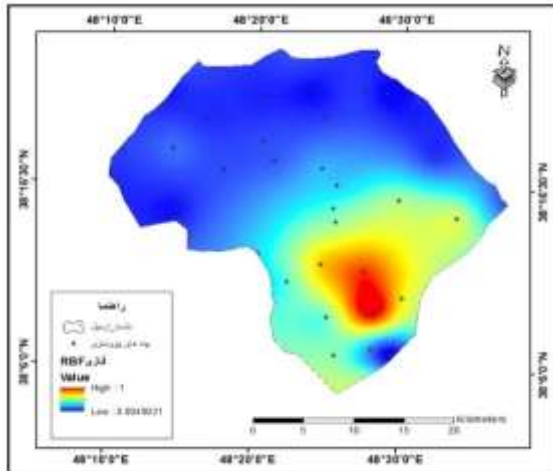
شکل ۵: نقشه‌ی فازی به روش LPI برای سال آبی ۱۳۶۰.



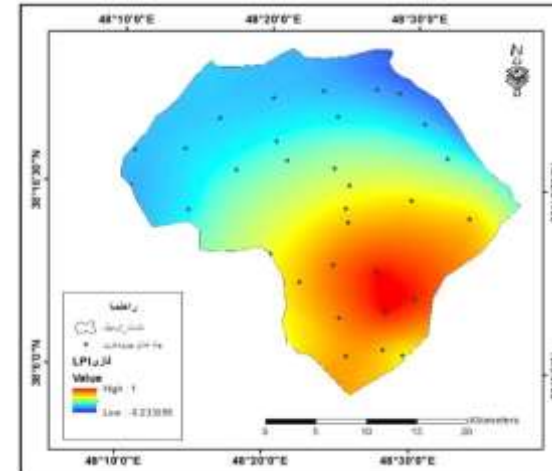
شکل ۸: نقشه‌ی فازی به روش GPI برای سال آبی ۱۳۹۰.



شکل ۷: نقشه‌ی فازی به روش IDW برای سال آبی ۱۳۹۰.



شکل ۱۰: نقشه‌ی فازی به روش RBF برای سال آبی ۱۳۹۰.



شکل ۹: نقشه‌ی فازی به روش LPI برای سال آبی ۱۳۹۰.

در جدول شماره ۱ انواع مدل‌های به کار رفته برای درون‌بایی به همراه مدل سمی واریوگرام و توان‌های بهینه‌شده و نیز مقادیر خطای RMS و میزان بیشینه و کمینه هر مدل آورده شده است. از مقادیر بیشینه برای به دست آوردن لایه‌ی استاندارد فازی استفاده شده است. در جدول شماره ۲، مشخصات چاه‌های پیزومتری به همراه میزان سطح ایستابی آن‌ها برای سال‌های ۱۳۶۰ و ۱۳۹۰ آورده شده است.

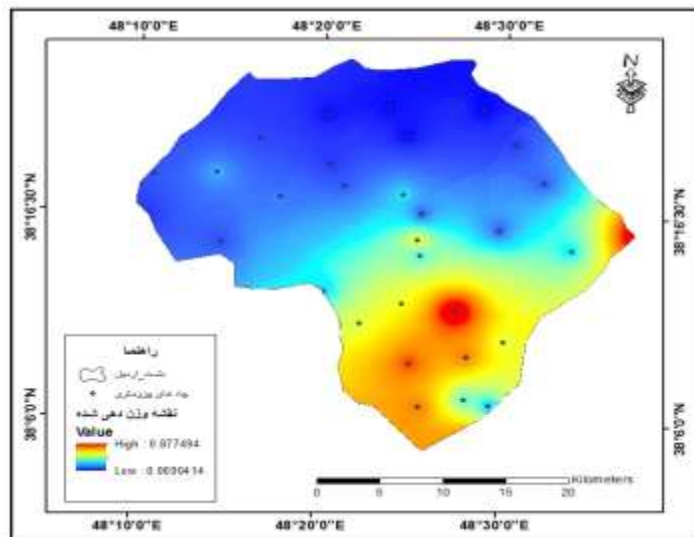
جدول ۱: نوع مدل به کار رفته برای درون‌بایی به همراه ویژگی‌های آن

مدل به کار رفته برای درون‌بایی	سال آبی	مدل سمی واریوگرام	توان بهینه‌شده	خطای RMS	Max	Min	رتبهی مستقیم	وزن اولیه	وزن استاندارد
IDW	۱۳۹۰	--	۲/۹۵	۱۰/۷۸۵	۷۱/۱۰۱۰	۰/۳۴۳	۲	۳	۳۶۵۸۶
	۱۳۶۰	--	۱/۶۸	۹/۹۳۵	۴۵/۷۱۵	۰/۵۱۳	۱	۴	۳۶۶۱۷
GPI	۱۳۹۰	سه جمله‌ای	۳	۱۳/۹۰۹	۶۱/۶۹۷	۰/۳۰۱	۴	۱	۳۶۵۲۶
	۱۳۶۰	دو جمله‌ای	۲	۱۱/۷۵۰	۵۰/۳۵۹	۰/۵۴۲	۴	۱	۳۶۵۲۶
RBF	۱۳۹۰	کرنل	۰/۰۰۱۲	۱۰/۲۹۳	۷۳/۲۱۹	۰/۳۰۶	۱	۱	۳۶۶۱۷
	۱۳۶۰	کرنل	۰/۰۰۶۲	۹/۹۸۸	۴۵/۴۵۸	۰/۹۰۴	۲	۲	۳۶۵۸۶
LPI	۱۳۹۰	یک جمله‌ای	۱	۱۳/۲۸۸	۲۵۵۶۹	۰/۳۴۴	۳	۲	۳۶۵۵۷
	۱۳۶۰	دو جمله‌ای	۲	۱۰/۵۵۷	۲۷/۵۷۵	۰/۶۴۲	۳	۲	۳۶۵۵۷
								۱۰	۱
								مجموع	

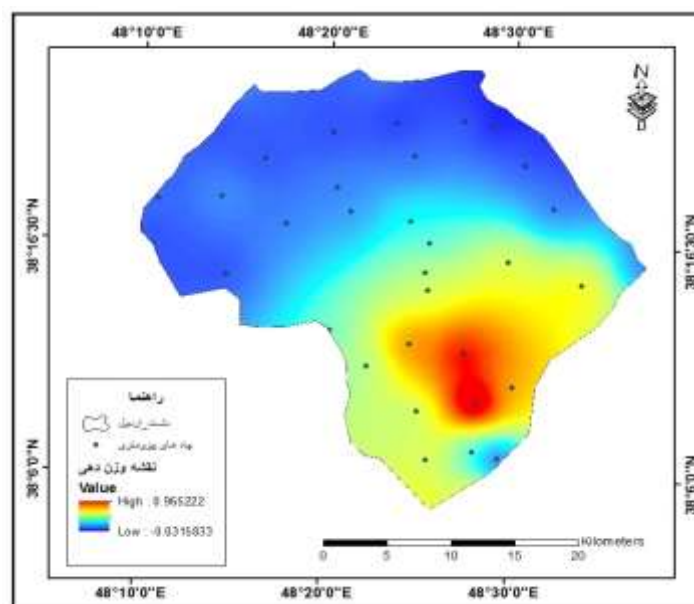
جدول ۲: مشخصات چاه‌های پیزومتری به همراه میزان سطح ایستابی (متر) برای سال‌های ۱۳۶۰ و ۱۳۹۰

نام چاه پیزومتری	آرالوی بزرگ	جهد دار	حسن باری	خلیل آباد	رضی آباد	آتاباقر	کرکرق	مرنی	میرزا رحیملو	نوسنگ
سال آبی ۱۳۶۰	۲۹/۵۹	۲/۳۶	۲/۸۹	۶۶/۱۶	۱۷/۹۰	۲۲/۷۳	۴۲۰-۰۷	۶/۲۴	۲/۹۷	۴۲۰-۸۸
سال آبی ۱۳۹۰	۴۲۳۶۷	۳/۲۰	۳/۲۰	۱۶۶۸۱	۴۲۱۸۱	۲۶/۸۳	۷/۹۲	۳۸	۱۹/۷۲	۳۰/۱۴
نام چاه پیزومتری	کرکان	اغبلاغ رسنم خان	انزاب پایین	ایمیتجه	آقازمان کندی	باروق	پیرا قوم	تازه کند	تبراقلو	خلیفه لو
سال آبی ۱۳۶۰	۵/۲۱	۹/۷۷	۲/۷۴	۴۲۱۲۸	۴۲۱۵۹	۴۲۱۵۹	۴۲۱۴۴	۴/۷۳	۴۵/۷۹	۱/۶۷
سال آبی ۱۳۹۰	۱۲/۴۲	۳۱/۴۲	۴۲۱۵۹	۴۲۱۵۹	۴۲۱۲۲	۲۶/۸۲	۱۷۹۵۸	۴/۹۲	۶۲/۹۹	۳۳/۲۲
نام چاه پیزومتری	خلیل آباد	روبروی فروندگاه	سریند	سعید آباد	سلطان آباد	مهمند وست	طالب قشلاقی	قره لر	شیخ	کلخوران فولادلو
سال آبی ۱۳۶۰	۲۶/۶۹	۱/۷۹	۲/۷۶	۲/۷۵	۴/۱۵	۶/۳۱	۵/۸۲	۱۲/۱۴	۴۲۱۰۰	۰/۲۲
سال آبی ۱۳۹۰	۲۵۹۳۴	۵/۹۵	۲/۷۳	۶/۳۸	۹/۱۹	۲۱/۴۸	۱۰/۸۸	۱۷/۵۹	۷/۹۷	۰/۳۴
نام چاه پیزومتری	گلی جدید	کنار	نوران	نوشهر	هیر	یاجلو	ینگجه	صومعه	بریس	
سال آبی ۱۳۶۰	۴۲۳۱۲	۲/۹۷	۴۲۱۶۰	۲۲/۱۶	۳۴/۸۸	۴۲۲۵۴	۱/۹۳	۱۰/۶۰	۱۲	
سال آبی ۱۳۹۰	۵/۴۵	۴/۷۱	۴/۵۲	۳۵/۴۵	۳۹/۷۴	۴۲۲۲۱	۲/۲۱	۱۰/۹۷	۷	
میانگین سطح ایستابی کل چاه‌ها (متر) برای سال آبی ۱۳۶۰	۱۰/۴۰									
میانگین سطح ایستابی کل چاه‌ها (متر) برای سال آبی ۱۳۹۰	۱۸/۷۴									

هم چنین در شکل شماره ۱۱ و شکل شماره ۱۲ هم چنان که در روش کار توضیح داده شد، تمامی لایه های درونیابی شده و وزن دار شده با استفاده از مدل وزن دهی جمعی ساده تلفیق شده و نقشه نهایی برای سال آبی ۱۳۶۰ (شکل ۱۱) و سال آبی ۱۳۹۰ (شکل ۱۲) تهیه شد. همان طور که از شکل های درون یابی شده مشخص است، افزایش مساحت سطوح مختلف کلاس های ارتفاعی ارائه شده از سال ۶۰ به سال ۹۰ گواه افزایش افت در دشت خصوصاً در قسمت شرق و جنوب شرق دشت اردبیل است. همچنین، با توجه به دو شکل ۱۱ و ۱۲، گسترش ناحیه ای مشخص شده به رنگ قرمز در شکل ۱۲ از شکل ۱۱ گواه گسترش منطقه ای افت سطح ایستابی در این دو دوره ای آماری است.

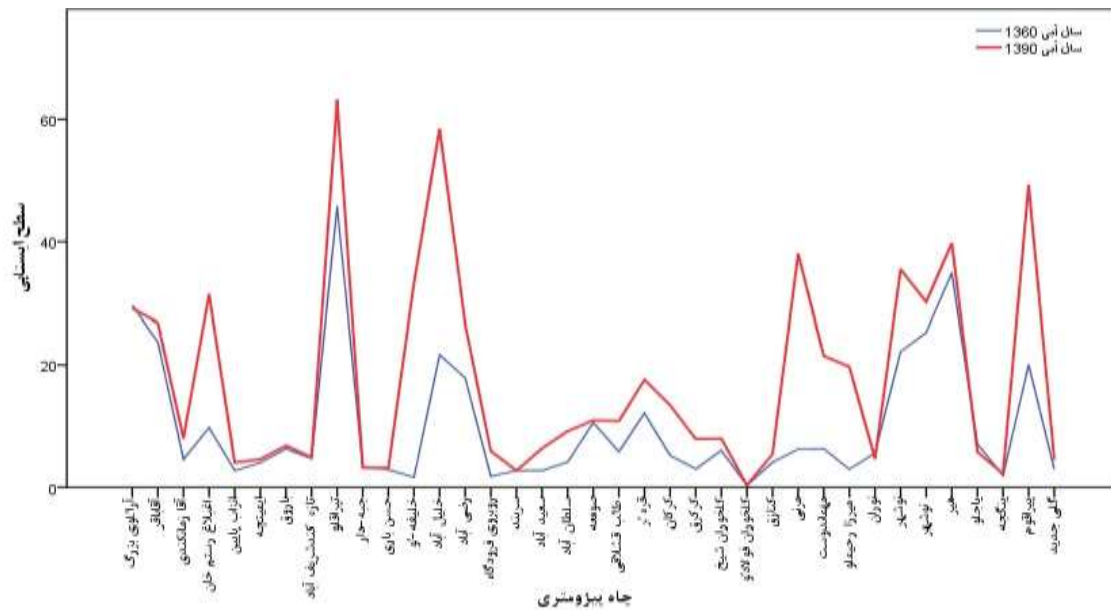


شکل ۱۱: نقشه ایستابی افت سطح برای سال آبی ۱۳۶۰.

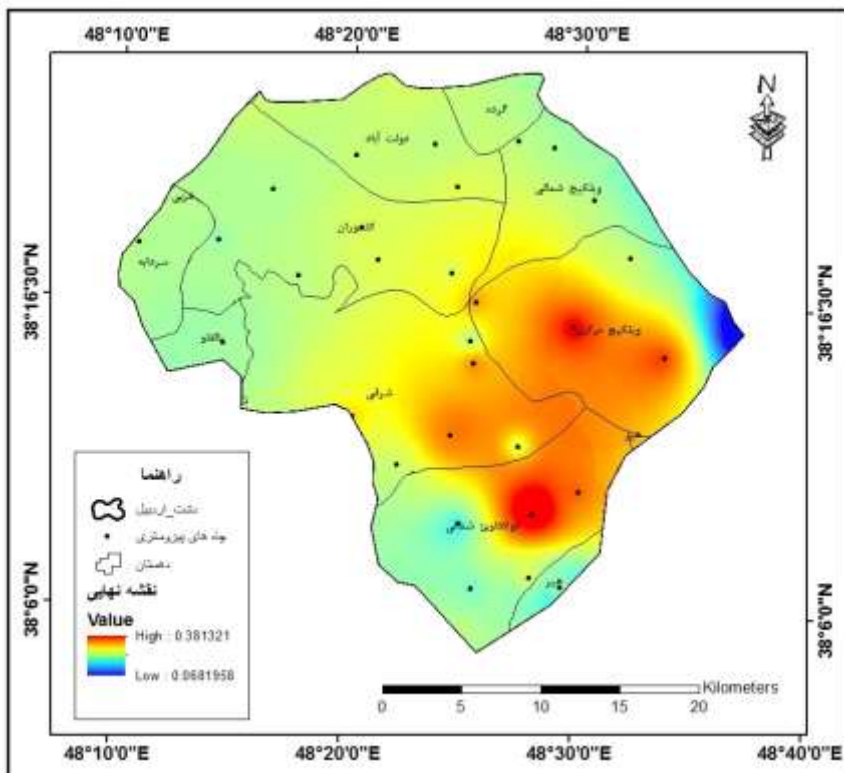


شکل ۱۲: نقشه ایستابی افت سطح برای سال آبی ۱۳۹۰.

شکل شماره‌ی ۱۳ با توجه به جدول شماره‌ی ۲، تغییرات میانگین سطح ایستابی چاه‌های پیزومتری دشت را در سال‌های ۹۰ و ۹۱ به وضوح نشان می‌دهد. میانگین افت سطح ایستابی برای دو دوره‌ی آماری  $8/34$  متر است که در شکل شماره‌ی ۱۳ می‌توان افت سطح ایستابی آب زیرزمینی دشت اردبیل را بین دو دوره آماری مشاهده کرد.



شکل شماره ۱۵ نقشه نهایی وضعیت سطح ایستابی دشت اردبیل را نشان می دهد.



شکل ۱۵: نقشه نهایی وضعیت افت سطح ایستابی آب زیرزمینی دشت اردبیل.

همانطور که در توضیحات شکل شماره ۱۴ گفتیم، این شکل مجموع سطح زیر کشت محصولات گندم، جو، سیب زمینی و علوفه را برای دهستان های اردبیل نشان می دهد. همچنین، در این شکل، چاه های عمیق موجود در سطح دشت اردبیل به نمایش در آمده است. مطابق این شکل، ملاحظه می گردد که بیشترین تراکم چاه عمیق به ترتیب در فولادلوی شمالی، ویلکیج مرکزی و شرقی است. علاوه بر این، بیشترین میزان سطح زیر کشت مربوط به این سه دهستان است. به تبع وجود این عوامل، میزان برداشت از آب زیرزمینی نیز به شدت بالا می رود که خود یکی از عوامل بسیار مهم دخیل در وحامت اوضاع این قسمت از آبخوان دشت است. نقشه نهایی میزان افت سطح ایستابی دشت اردبیل با استفاده از اعمال روش های مختلف درون یابی و نیز رتبه بندی و وزن دهی، پس از کسر کردن و استاندارد و فازی کردن دو نقشه ای سطح ایستابی سال ۶۰ و ۹۰ به دست آمد (شکل ۱۵). با توجه به شکل شماره ۱۵ به خوبی می توان میزان افت و محل افت شدید را در سطح ایستابی آب زیرزمینی دشت اردبیل مشاهده کرد. مطابق با شکل شماره ۱۱ و ۱۲ می توان گفت که وضعیت دهستان فولادلوی شمالی و ویلکیج مرکزی در حالت بحران قرار دارد و دهستان شرقی نیز در آیندهای نزدیک به سمت بحران پیش می رود. مطابق با شکل شماره ۱۵ بیشترین افت سطح ایستابی مربوط به دهستان فولادلوی شمالی است.

### نتیجه‌گیری

نتایج تحلیل، کاهش تقریباً ۴۵ درصدی سطح ایستابی را در سال ۱۳۹۱ نسبت به سال ۱۳۶۰ نشان می‌دهد. همان‌طور که شکل‌های ۱۲ و ۱۳ نشان می‌دهند، بیشینه‌ی سطح ایستابی چاه‌های پیزومتری از ۴۵ متر در سال ۱۳۶۰ به بیش از ۷۰ متر در سال ۱۳۹۰ رسید که حاکی از وخت اوضاع آبخوان دشت اردبیل است. سرانجام، با استفاده از اطلاعات بهدست آمده می‌توان گفت که دهستان‌های شرقی، ویلکیچ مرکزی و فولادلوی شمالی بیشترین تغییرات را به لحاظ افت سطح آب زیرزمینی داشته‌اند. این نواحی قسمت‌های شرق و جنوب شرق دشت را شامل می‌شود. به علت مساعدبودن شرایط کشاورزی و بالابودن سطح زیر کشت محصولات با نیاز آبی بالا و تراکم چاه‌های عمیق حفر شده، برداشت از آب زیرزمینی فراوان است و میزان افت سطح آب زیرزمینی افزایش در حال کاهش است. دهستان شرقی نیز به سمت بحران پیش می‌رود و، در این‌بین، دهستان ویلکیچ مرکزی (قسمت شرقی دشت) در معرض بیشترین خطر به لحاظ افت سطح ایستابی آبخوان نسبت به دو دهستان شرقی و ویلکیچ مرکزی است. دهستان فولادلوی شمالی نیز (که دارای بیشترین تراکم چاه عمیق است) در آینده نزدیک با ادامه برداشت‌ها از چاه‌های عمیق موجود، به سمت کاهش شدید منابع آب زیرزمینی خواهد رفت.

### منابع

- اصغرپور، محمدجواد. ۱۳۹۲. تضمیم‌گیری‌های چندمعیاره. انتشارات دانشگاه تهران، تهران، ج ۱۱.
- حبشی، هاشم؛ سید محمد حسینی و جلال محمدی. ۱۳۸۵. ارزیابی دقت و صحت روش‌های درون‌یابی در تخمین ارت خاک با استفاده از GIS. سومین همایش سیستم‌های اطلاعات مکانی، قشم.
- دانشور و ثوقی، فرناز و یعقوب دین پژوه. ۱۳۹۰. خشکسالی و تأثیر آن بر روند تغییرات تراز آب زیرزمینی دشت اردبیل در دو دهه‌ی اخیر. ششمین کنگره‌ی ملی مهندسی عمران. دانشگاه سمنان.
- شمی‌سوهاب، رضا و محمدتقی ستاری. ۱۳۹۳. تخمین سطح آب زیرزمینی دشت اردبیل با استفاده از شبکه‌های عصبی مصنوعی. پانزدهمین کنفرانس دانشجویان عمران، انجمن علمی دانشجویی عمران دانشگاه ارومیه.
- غفاری، حسین؛ علی رسول‌زاده؛ مجید رئوف و ابذر اسماعلی‌عوری. ۱۳۹۲. بررسی تغییرات کمی آب زیرزمینی آبخوان دشت اردبیل طی ده سال آبی دوره‌ی آماری (۸۰-۸۱ تا ۸۹-۹۰)، دومین کنگره‌ی ملی کشاورزی ارگانیک، دانشگاه محقق اردبیلی، اردبیل.
- غفاری، حسین؛ علی رسول‌زاده؛ مجید رئوف و ابذر اسماعلی‌عوری. ۱۳۹۲. بررسی روش‌های مختلف درون‌یابی در تهیه‌ی نقشه‌های هم‌تراز آب زیرزمینی با استفاده از ArcGIS در آبخوان دشت اردبیل، دومین همایش ملی توسعه‌ی پایدار کشاورزی و محیط زیست سالم. شرکت هم اندیشان محیط زیست فردا، همدان.
- عیوضی، معصومه؛ ابوالفضل مساعدي؛ مهدی مفتح هلقی و موسی حسام. ۱۳۸۸. مقایسه‌ی روش‌های مختلف درون‌یابی در پهنه‌بندی خشکسالی‌های استان گلستان. دومین همایش ملی اثرات خشکسالی و راه کارهای مدیریت آن، اصفهان.
- عیوضی، معصومه و ابوالفضل مساعدي. ۱۳۹۰. بررسی الگوی گسترش مکانی بارش در سطح استان گلستان با استفاده از مدل‌های قطعی و زمین‌آماری. نشریه‌ی آب و خاک ۱: ۶۴-۵۳.

غريبنيا، فاضل؛ سيد ياسر حكيم دوست و يدالله بلياني. ۱۳۹۱. راهنمای جامع مدل‌های کاربردی GIS در برنامه‌ریزی شهری، روستایی و محیطی، چاپ اول، انتشارات آزاد پیما، تهران.

فرجی سبکیار، حسنعلی و قاسم عزیزی. ۱۳۸۵. ارزیابی میزان دقت روش‌های درون‌یابی فضایی مطالعه‌ی موردنی: الگوسازی بارندگی حوزه‌ی کاردهی مشهد. پژوهش‌های جغرافیایی، ۵۸: ۱۵-۱.

قهروندی تالی، منیزه و اسلامه بابایی. ۱۳۸۴. درآمدی بر سیستم اطلاعات جغرافیایی، انتشارات پیام نور، تهران.

مالچوفسکی، یاچک. ۱۳۹۰. سامانه‌ی اطلاعات جغرافیایی و تحلیل تصمیم چند معیاری. ترجمه‌ی اکبر پرهیزگار و عطا غفاری گیلانده، چاپ دوم، انتشارات سمت، تهران.

نیکبخت، صادق و معصومه دلبیری. ۱۳۹۲. برآورد سطح ایستابی آب‌های زیرزمینی با استفاده از روش‌های زمین‌آماری. نشریه‌ی آب و توسعه پایدار، ۱: ۴۹-۵۶.

- Apaydin H.; Sonmez K. and Yildirim E. ۲۰۰۴. Spatial interpolation techniques for climate data in the GAP region in Turkey. *Journal of Climate Research*, ۲۸: ۳۱-۴۰.
- Ben-Jemaa F. and Marino M.A. ۱۹۹۰. Optimization of a groundwater well monitoring network. International Conference on Optimizing the Resources for Water Management. Fort worth, Texas, April ۱۷-۲۱, pp. ۱۰-۱۵.
- Cockings S.; P. F. Fisher and M. Langford. ۱۹۹۷. Parameterization and Visualization of the Errors in Areal Interpolation. *Geographical Analysis*, ۲۹: ۳۱۴-۳۲۸.
- Goovaert, P. ۱۹۹۹. Performance Comparison of Geostatistical Algorithms for Incorporating Elevation into the Mapping of Precipitation. *GeoComputation Proceedings*.
- Johnston K.; Ver Hoef J.M.; Krivoruchko K. and Lucas N. ۲۰۰۱. Using arcGIS geostatistical analyst. ESRI, Redlands, CA.
- Magnus E.; and M. Clyde . ۲۰۱۰. *Optimal Control, Statistics and Path Planning*. Princeton University Press.
- Azpurua, M. and Dos Ramos, K. ۲۰۱۰. Progress in Electromagnetics. *Research Magazine*, ۱۴: ۳۵-۱۴۵.
- McKenna S.A. ۲۰۰۲. Simulating geological uncertainty with imprecise data for groundwater flow and advection transport modelling. pp. ۱-۱۵.
- Philip, G. M., and Watson D. F. ۱۹۸۲. A Precise Method for Determining Contoured Surfaces. *Australian Petroleum Exploration Association Journal* ۲۲: ۲۰۵-۲۱۲.
- Siska, .P. and I-Kuai Hung . ۲۰۰۱. Assessment of kriging Accuracy in the GISEnvironment. [Http://gis.esri.com/userconf/proc/1/professional/papers/pap280/p280.htm](http://gis.esri.com/userconf/proc/1/professional/papers/pap280/p280.htm).
- Robinson, T.P. and Metternicht, G. ۲۰۰۶. Testing the performance of spatial interpolation techniques for mapping soil properties. *Computers and Electronics in Agriculture*, ۵( ۲): ۹۷-۱۰۸.
- Watson, D. F. and Philip, G. M. ۱۹۸۰. A Refinement of Inverse Distance Weighted Interpolation. *Geoprocessing*, ۲: ۳۱۵-۳۲۷.
- Yan, Xin. ۲۰۰۹. *Linear regression analysis: theory and computing*. Published by World Scientific Publishing Co. Pte. Ltd
- YueSun, A. ; Shaozhong, A. ; Kang, F. Li and Zhang L. ۲۰۰۹. Comparison of interpolation methods for depth to groundwater and its temporal and spatial variations in the Minqin oasis of northwest China. *Environmental Modelling and Software*, ۴۴: ۱۱۶۳-۱۱۷۰.